

01;07

## Новый подход к расчету вытекающих мод многослойных волноводных структур, основанный на точном методе конечных разностей

© Е.И. Голант

Государственное федеральное унитарное предприятие НПП „Исток“,  
Фрязино, Московская область

Поступило в Редакцию 11 июля 2005 г.

На примере многослойных планарных оптических волноводов, волноведущие свойства которых определяются не полным внутренним отражением от границы ядра и оболочки, как в обычных оптических волноводах, а антирезонансным отражением от многослойной оболочки, так называемым ARROW волноводов демонстрируется эффективность нового численного метода расчета электромагнитных мод — точного метода конечных разностей (EFDM), представляющего собой синтез метода конечных разностей и метода матрицы переноса. Предлагаемый метод равно применим как к расчету электромагнитных мод в диэлектрических волноводах, так и к расчету квантовых состояний электронов в многобарьерных полупроводниковых гетероструктурах.

Приводятся результаты сравнения характеристик 9-слойного волновода, рассчитанных на основе предлагаемого подхода, с известными из литературы, полученными с помощью решения дисперсионного уравнения в рамках метода матрицы переноса. В качестве примера приводятся результаты расчета спектральных зависимостей радиационного затухания первой вытекающей TE моды планарных оптических волноводов с различным числом слоев.

Задача определения мод многослойного планарного оптического волновода сводится к решению стационарного волнового уравнения (уравнения Шредингера) для среды с кусочно-постоянным (ступенчатым) профилем коэффициента преломления (потенциальной энергии):

$$\frac{d^2\psi}{dx^2} + k_j^2\psi = 0, \quad (1)$$

где  $k_j = \sqrt{n_j^2 k_0^2 - \gamma^2}$  — поперечный волновой вектор  $j$  участка планарного волновода с коэффициентом преломления  $n_j$ ,  $\gamma = \beta - i\alpha$  —

продольная, в общем случае комплексная, постоянная распространения волны, бегущей в направлении  $z$  и имеющей фазовый множитель  $\exp[i(\omega t - \gamma z)]$ ,  $k_0 = \omega/c$  — волновой вектор свободного пространства,  $\omega$  — круговая частота,  $c$  — скорость света в пустоте;  $\psi = E_y$  — для ТЕ волн и  $\psi = H_y$  — для ТМ волн.

На границах между слоями с различными коэффициентами преломления должны выполняться условия связи

$$\psi(x_{j+}) = \psi(x_{j-}), \left. \frac{1}{\mu_j} \frac{d\psi}{dx} \right|_{x_{j+}} = \left. \frac{1}{\mu_{j-1}} \frac{d\psi}{dx} \right|_{x_{j-}}, \quad (2)$$

где  $\mu_j = \begin{cases} 1 & \text{для ТЕ волн,} \\ n_j^{-2} & \text{для ТМ волн.} \end{cases}$

Знак плюс относится к слою, лежащему в положительном направлении от точки  $j$ , в то время как минус — в отрицательном. Отметим, что для случая электронных волн в полупроводниковых гетероструктурах  $\mu_j = \frac{m_j^*}{m_0}$ , где  $m_j^*$  — эффективная масса электрона,  $m_0$  — масса свободного электрона.

Предполагается, что волноведущая структура ограничена полупространствами с коэффициентами преломления  $n_s$  и  $n_c$ , причем положительное направление оси  $x$  выбрано от  $n_s$  к  $n_c$ .

Для  $x_j \leq x \leq x_{j+1}$  общее решение уравнения (1) может быть записано в виде

$$\begin{aligned} \psi(x) &= A_j \cos[k_j(x - x_j)] + B_j \sin[k_j(x - x_j)] \\ &= R_j e^{ik_j(x-x_j)} + S_j e^{-ik_j(x-x_j)}. \end{aligned} \quad (3)$$

Используя условия связи (2), можно получить явные выражения для коэффициентов матриц  $T_j$  [1], связывающих значения волновой функции  $\psi$  и непрерывной величины  $\mu_j^{-1} \psi' = \mu_j^{-1} \frac{d\psi}{dx}$  в смежных сечениях. Перемножение матриц  $T_j$  дает так называемую матрицу переноса  $T = T_{N-1} \dots T_2 T_1 = \begin{bmatrix} t_{11} & t_{12} \\ t_{21} & t_{22} \end{bmatrix}$ , связывающую значения волновой функции и ее производной в граничных сечениях. Полагая, что при  $x < x_1$ ,  $\psi(x) = R_s e^{ik_s(x-x_1)}$ , а при  $x > x_N$ ,  $\psi(x) = S_c e^{-ik_c(x-x_N)}$ , т. е. в граничных

полупространства имеются только уходящие (при действительном  $ik$ -затухающие) волны, легко получить дисперсионное уравнение относительно продольной комплексной постоянной распространения  $\gamma$ :

$$\mu_c^{-1} ik_c t_{11} - \mu_s^{-1} \mu_c^{-1} k_s k_c t_{12} + t_{21} + \mu_c^{-1} ik_s t_{22} = 0. \quad (4)$$

Корни этого уравнения  $\gamma = \beta - i\alpha$  дают искомые действительную постоянную распространения  $\beta$  и постоянную затухания  $\alpha$  вытекающих мод волновода. С незначительными вариациями описанный выше подход используется в большинстве известных работ по численному расчету мод в ARROW структурах.

**Метод и результаты.** В описанном выше подходе имеются две существенные трудности.

1. Вычисление комплексных коэффициентов матрицы передачи  $T$  путем прямого произведения матриц  $T$  приводит к накоплению ошибок округления, а даже незначительное искажение дисперсионного уравнения (4) приводит к серьезной погрешности в определении комплексной постоянной распространения. Качественное объяснение таково: присутствие экспоненциально нарастающих компонент в общем решении исходной дифференциальной задачи нарушает вычислительную устойчивость, строгое доказательство приведено в [2]

2. Нахождение комплексных корней трансцендентного дисперсионного уравнения (4) требует применения весьма сложных вычислительных процедур [1,3]. Обе эти трудности заметно усугубляются с увеличением числа слоев волновода  $N$ . В то же время расчет оптических волноводов, так же как и полупроводниковых гетероструктур, например для квантовых каскадных лазеров [4], содержащих десятки и сотни слоев, приобретает все большую актуальность.

В настоящей работе предлагается новый подход, — используя явный вид матриц  $T_j$  [1], построить разностную схему, связывающую значения волновой функции  $\psi$  в трех последовательных точках  $\psi_{j-1}$ ,  $\psi_j$ ,  $\psi_{j+1}$ :

$$\left[ \mu_j^{-1} \frac{k_j d_j}{\sin(k_j d_j)} \left( \frac{\psi_{j+1} - \psi_j}{d_j} \right) - \mu_{j-1}^{-1} \frac{k_{j-1} d_{j-1}}{\sin(k_{j-1} d_{j-1})} \left( \frac{\psi_j - \psi_{j-1}}{d_{j-1}} \right) \right] \times \frac{2}{d_j + d_{j-1}} + \left[ \mu_j^{-1} k_j^2 \frac{\text{tg}(k_j d_j / 2)}{k_j d_j / 2} + \mu_{j-1}^{-1} k_{j-1}^2 \frac{\text{tg}(k_{j-1} d_{j-1} / 2)}{k_{j-1} d_{j-1} / 2} \right] \psi_j = 0, \quad (5)$$

где  $d_j = x_{j+1} - x_j$  — толщина  $j$  слоя.

Эта схема имеет вид, характерный для стационарной разностной аппроксимации уравнения (1) с условиями связи (2). Более того, схема (5) в пределе  $\max(d_j) \rightarrow 0$  переходит в стандартную разностную схему второго порядка точности для уравнений (1), (2). Однако в отличие от стандартной полученная разностная схема является точной для волноводных структур со ступенчатым поперечным профилем коэффициента преломления. Присоединяя краевые условия к системе уравнений (5), получаем замкнутую систему из  $N$  линейных алгебраических уравнений с  $N$  неизвестными и действительной симметричной трехдиагональной матрицей. Важным преимуществом (5) является возможность применения для решения (5) экономичных и численно устойчивых методов, развитых для решения разностных уравнений с трехдиагональными матрицами, в частности встречной сопряженной прогонки [5].

Полученная система уравнений решается в предположении отсутствия затухания  $\alpha = 0$  и действительности волновой функции  $\psi_N$ . Предполагаемая достаточно малой (рассчитываются долгоживущие моды) мнимая часть постоянной распространения  $\alpha$  определяется на следующем этапе вычислений. В этом заключается одна из основных идей предлагаемого метода — разделить вычисление действительной и мнимой части постоянной распространения. В результате, по заданным продольной постоянной распространения  $\beta$  и действительным значениям волновой функции  $\psi_0$  (или ее производной  $\psi'_0$ ) на границе, решение уравнений (5) с соответствующими граничными условиями дает действительные же значения волновой функции во всех остальных точках (сечениях) волноводной структуры.

При таком подходе подразумевается, что в волновод извне, через одну или обе границы с внешними полупространствами поступает электромагнитная энергия, обеспечивающая отсутствие затухания распространяющейся волны. Поступающая мощность, очевидно, равна мощности, излучаемой волной во внешнее пространство. Обозначим эту мощность (отнесенную к единице площади излучаемой поверхности) —  $P_x$ , а мощность, переносимую волной внутри волновода в направлении распространения  $z$  (отнесенную к единице длины в направлении, перпендикулярном плоскости  $x, z$ ), —  $P_z$ . Отношение  $P_x(\beta)/P_z(\beta) = \alpha$  имеет смысл коэффициента затухания рассматриваемой моды и изменяется с изменением  $\beta$ . Минимумы на зависимости  $P_x(\beta)/P_z(\beta)$  соответствуют самым долгоживущим модам, для которых реализуются наиболее благоприятные условия антирезонансного отражения от обо-

9-layer ARROW Waveguide:  $n_s = 3.5$ ,  $n_1 = 1.46$ ,  $n_2 = 1.50$ ,  $n_3 = 1.46$ ,  
 $n_4 = 1.50$ ,  $n_5 = 1.46$ ,  $n_6 = 1.50$ ,  $n_7 = 1.46$ ,  $n_8 = 1.50$ ,  $n_9 = 1.46$ ,  $n_c = 1.0$ ,  
 $d_1 = 2.0 \mu\text{m}$ ,  $d_2 = 448 \mu\text{m}$ ,  $d_3 = 4.0 \mu\text{m}$ ,  $d_4 = 0.448 \mu\text{m}$ ,  $d_5 = 2.0 \mu\text{m}$ ,  
 $d_6 = 0.448 \mu\text{m}$ ,  $d_7 = 4.0 \mu\text{m}$ ,  $d_8 = 0.448 \mu\text{m}$ ,  $d_9 = 2.0 \mu\text{m}$ ,  $\lambda = 0.6328 \mu\text{m}$

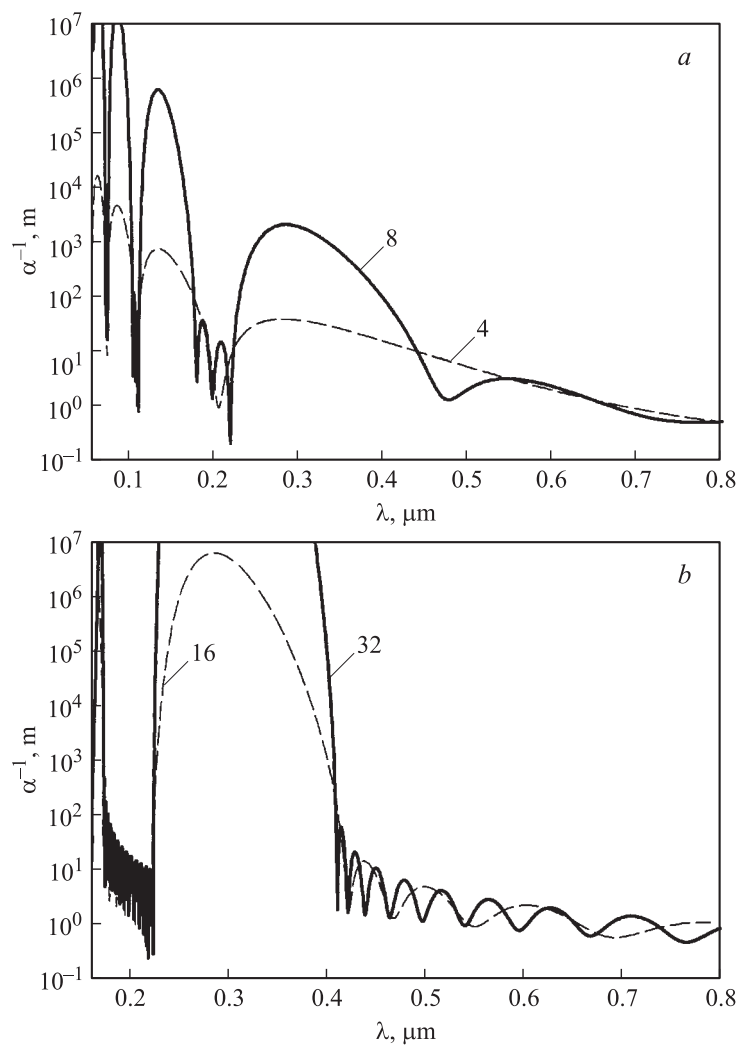
Present Method			Reference [7]	
Mode	$\beta/k_0$	$\alpha/k_0$	$\beta/k_0$	$\alpha/k_0$
TE <sub>1</sub>	1.457920191	$0.0071059441 \cdot 10^{-4}$	1.457920191	$0.007106242 \cdot 10^{-4}$
TE <sub>2</sub>	1.457791244	$0.0090529995 \cdot 10^{-4}$	1.457791244	$0.009053396 \cdot 10^{-4}$
TE <sub>3</sub>	1.453780369	$0.1145698295 \cdot 10^{-4}$	1.453780369	$0.114698816 \cdot 10^{-4}$
TE <sub>4</sub>	1.453045405	$0.4186909382 \cdot 10^{-4}$	1.453045406	$0.420121480 \cdot 10^{-4}$
TE <sub>5</sub>	1.451864810	$0.6904035922 \cdot 10^{-4}$	1.451864807	$0.693651857 \cdot 10^{-4}$
TE <sub>6</sub>	1.450269492	$0.7293545637 \cdot 10^{-4}$	1.450269491	$0.732515869 \cdot 10^{-4}$

лочки ARROW волновода. По вычисленным ранее значениям волновой функции  $P_x(\beta)$  и  $P_z(\beta)$  находятся аналитически в замкнутом виде.

Таким образом, имеются два принципиальных момента, обеспечивающих эффективность предложенного метода: использование точной разностной аппроксимации и новый по сравнению с известными [6] способ вычисления коэффициента затухания вследствие радиационных потерь.

Для сравнения с данными, полученными в [1] на основе сложных численных методов поиска комплексных корней дисперсионных уравнений (4), был приведен расчет первых 6 ТЕ мод 9-слойного ARROW волновода из работы [1]. Результаты приведены в таблице.

Видно полное совпадение (до десяти значащих цифр) полученных нами постоянных распространения (эффективных индексов) мод с решениями комплексного дисперсионного уравнения, полученного в работе [3]. Что касается потерь (коэффициента затухания), то здесь, как и следовало ожидать, совпадение значительно хуже: 4–5 значащих цифр для мод с малыми потерями и 2–3 с относительно большими. Однако для подавляющего большинства практических применений такой точности расчета коэффициента затухания вполне достаточно. Увеличение относительной точности с уменьшением величины затухания обусловлено резонансным характером интерференции волн в оболочке ARROW волноводов. В условиях резонанса предложенный нами метод является очень хорошей аппроксимацией излучаемой волноводом мощности



Зависимость характерной длины затухания  $\alpha^{-1}$  (м) от длины волны света в свободном пространстве для первой (вытекающей) моды симметричного планарного брэгговского волновода с ядром толщиной  $80 \mu\text{m}$ , окруженным слоями равной толщины  $0.323 \mu\text{m}$  с чередующимся коэффициентом преломления 1.50/1.46. Цифры у кривых соответствуют числу пар слоев оболочки:  $a$  — 4 и 8,  $b$  — 16 и 32.

(мощности потерь), которая становится тем лучше, чем более острый характер носит резонанс, иными словами чем более долгоживущей является рассматриваемая мода.

В качестве еще одной демонстрации возможностей предлагаемого метода на рисунке приведены результаты расчета зависимости характерной длины затухания  $\alpha^{-1}$  от длины волны света в свободном пространстве для первой (вытекающей) ТЕ моды планарных брэгговских волноводов с ядром толщиной  $80 \mu\text{m}$  и оболочкой, состоящей из слоев равной толщины  $0.323 \mu\text{m}$  с чередующимся коэффициентом преломления 1.50/1.46. На рисунке, в частности, хорошо видно, как при увеличении числа слоев оболочки формируются полосы пропускания и запираения волновода.

Данная работа выполнена при финансовой поддержке РФФИ (проекты 04-02-16441 и 04-02-17177).

## Список литературы

- [1] *Chen C., Berini P., Feng D., Tanev S., Tzolov V.P.* // Optics Express. 2000. V. 7. P. 260.
- [2] *Mayer A., Vigneron J.-P.* // Physical Review. E. 1999. V. 59. P. 4659.
- [3] *Anetogiannis E., Glytsis E.N., Gaylord T.K.* // J. Lightwave Tech. 1999. V. 17. P. 929.
- [4] *Kramer B.* (ed.) // Adv. in Solid State Phys. 2003. V. 43. P. 351.
- [5] *Голант Е.И., Кальфа А.А., Пореш С.Б., Тагер А.С.* // Электронная техника. Сер. 1. Электроника СВЧ. 1981. В. 7. С. 23–28.
- [6] *Huang W.P., Shubair R.M., Nathan A., Chow Y.L.* // J. Lightwave Technol. 1992. V. 10. P. 1015.